

Starkniederschlagshöhen und -spenden gemäß KOSTRA-DWD-2010R

Auswertungszeitraum von 1951 - 2010, Januar - Dezember

Rasterfeld: 5028

Zeile: 5

Spalte: 28

Seite: 1/2

| Dauerstufe D | | Wiederkehrzeit T | | | | | | | | | | | | | | | | | |
|--------------|-----|------------------|------------|------|------------|------|------------|------|------------|------|------------|------|------------|------|------------|------|------------|-------|------------|
| | | 1 a | | 2 a | | 3 a | | 5 a | | 10 a | | 20 a | | 30 a | | 50 a | | 100 a | |
| min | Std | mm | l / (s ha) | mm | l / (s ha) | mm | l / (s ha) | mm | l / (s ha) | mm | l / (s ha) | mm | l / (s ha) | mm | l / (s ha) | mm | l / (s ha) | mm | l / (s ha) |
| 5 | | 5,4 | 180,0 | 6,7 | 223,3 | 7,5 | 250,0 | 8,4 | 280,0 | 9,8 | 326,7 | 11,1 | 370,0 | 11,8 | 393,3 | 12,8 | 426,7 | 14,1 | 470,0 |
| 10 | | 8,2 | 136,7 | 10,0 | 166,7 | 11,1 | 185,0 | 12,5 | 208,3 | 14,4 | 240,0 | 16,2 | 270,0 | 17,3 | 288,3 | 18,7 | 311,7 | 20,6 | 343,3 |
| 15 | | 9,9 | 110,0 | 12,2 | 135,6 | 13,5 | 150,0 | 15,2 | 168,9 | 17,5 | 194,4 | 19,8 | 220,0 | 21,1 | 234,4 | 22,8 | 253,3 | 25,1 | 278,9 |
| 20 | | 11,1 | 92,5 | 13,7 | 114,2 | 15,3 | 127,5 | 17,2 | 143,3 | 19,8 | 165,0 | 22,5 | 187,5 | 24,0 | 200,0 | 26,0 | 216,7 | 28,6 | 238,3 |
| 30 | | 12,6 | 70,0 | 15,8 | 87,8 | 17,7 | 98,3 | 20,1 | 111,7 | 23,3 | 129,4 | 26,5 | 147,2 | 28,4 | 157,8 | 30,8 | 171,1 | 34,1 | 189,4 |
| 45 | | 13,8 | 51,1 | 17,8 | 65,9 | 20,1 | 74,4 | 23,0 | 85,2 | 27,0 | 100,0 | 30,9 | 114,4 | 33,2 | 123,0 | 36,2 | 134,1 | 40,1 | 148,5 |
| 60 | | 14,5 | 40,3 | 19,1 | 53,1 | 21,8 | 60,6 | 25,1 | 69,7 | 29,7 | 82,5 | 34,3 | 95,3 | 37,0 | 102,8 | 40,3 | 111,9 | 44,9 | 124,7 |
| 90 | | 16,0 | 29,6 | 20,7 | 38,3 | 23,5 | 43,5 | 27,0 | 50,0 | 31,7 | 58,7 | 36,4 | 67,4 | 39,2 | 72,6 | 42,7 | 79,1 | 47,4 | 87,8 |
| 120 | 2 | 17,2 | 23,9 | 22,0 | 30,6 | 24,8 | 34,4 | 28,4 | 39,4 | 33,3 | 46,3 | 38,1 | 52,9 | 40,9 | 56,8 | 44,5 | 61,8 | 49,3 | 68,5 |
| 180 | 3 | 19,0 | 17,6 | 24,0 | 22,2 | 26,9 | 24,9 | 30,6 | 28,3 | 35,6 | 33,0 | 40,6 | 37,6 | 43,5 | 40,3 | 47,2 | 43,7 | 52,2 | 48,3 |
| 240 | 4 | 20,3 | 14,1 | 25,5 | 17,7 | 28,5 | 19,8 | 32,2 | 22,4 | 37,4 | 26,0 | 42,5 | 29,5 | 45,5 | 31,6 | 49,3 | 34,2 | 54,4 | 37,8 |
| 360 | 6 | 22,5 | 10,4 | 27,8 | 12,9 | 30,9 | 14,3 | 34,8 | 16,1 | 40,0 | 18,5 | 45,3 | 21,0 | 48,4 | 22,4 | 52,3 | 24,2 | 57,6 | 26,7 |
| 540 | 9 | 24,8 | 7,7 | 30,3 | 9,4 | 33,5 | 10,3 | 37,5 | 11,6 | 43,0 | 13,3 | 48,5 | 15,0 | 51,7 | 16,0 | 55,7 | 17,2 | 61,2 | 18,9 |
| 720 | 12 | 26,6 | 6,2 | 32,2 | 7,5 | 35,5 | 8,2 | 39,6 | 9,2 | 45,2 | 10,5 | 50,8 | 11,8 | 54,1 | 12,5 | 58,2 | 13,5 | 63,8 | 14,8 |
| 1080 | 18 | 29,4 | 4,5 | 35,2 | 5,4 | 38,5 | 5,9 | 42,8 | 6,6 | 48,6 | 7,5 | 54,4 | 8,4 | 57,8 | 8,9 | 62,1 | 9,6 | 67,8 | 10,5 |
| 1440 | 24 | 31,5 | 3,6 | 37,4 | 4,3 | 40,9 | 4,7 | 45,3 | 5,2 | 51,2 | 5,9 | 57,1 | 6,6 | 60,6 | 7,0 | 65,0 | 7,5 | 70,9 | 8,2 |
| 2880 | 48 | 41,0 | 2,4 | 48,0 | 2,8 | 52,1 | 3,0 | 57,3 | 3,3 | 64,3 | 3,7 | 71,3 | 4,1 | 75,4 | 4,4 | 80,6 | 4,7 | 87,6 | 5,1 |
| 4320 | 72 | 47,9 | 1,8 | 55,5 | 2,1 | 60,0 | 2,3 | 65,6 | 2,5 | 73,2 | 2,8 | 80,9 | 3,1 | 85,3 | 3,3 | 91,0 | 3,5 | 98,6 | 3,8 |

Angaben in mm: Bemessungsniederschlagswerte h(n)

Angaben in l / (s ha): Regenspende R(n) mit $R(n) = h(n) \times 1,666667 / D[\text{min}]$

Toleranzbereiche:

+/- 10 % für $1 \text{ a} \leq T \leq 5 \text{ a}$

+/- 15 % für $5 \text{ a} < T \leq 50 \text{ a}$

+/- 20 % für $50 \text{ a} < T \leq 100 \text{ a}$

Datenbasis: KOSTRA-DWD-2010R des Deutschen Wetterdienstes. Die Regenspende wurde auf Basis des Bemessungsniederschlags zur jeweiligen Andauer berechnet.

Für die Richtigkeit und Aktualität der Angaben wird keine Gewähr übernommen. Erstellt 07/2022.

Starkniederschlagshöhen und -spenden gemäß KOSTRA-DWD-2010R

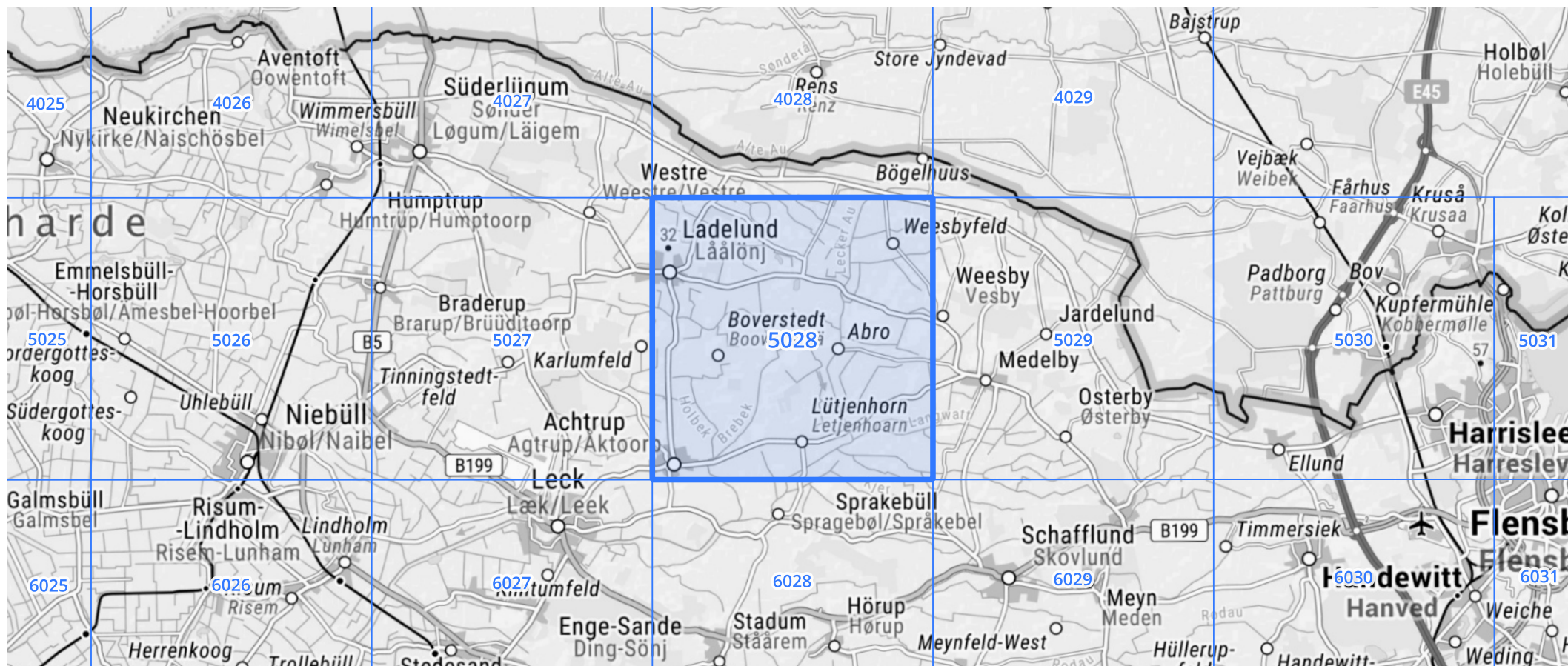
Auswertungszeitraum von 1951 - 2010, Januar - Dezember

Rasterfeld: 5028

Zeile: 5

Spalte: 28

Seite: 2/2



Quelle Rasterdaten: KOSTRA-DWD-2010R des Deutschen Wetterdienstes.

Kartendarstellung: © Bundesamt für Kartographie und Geodäsie (2022), Datenquellen: https://sgx.geodatenzentrum.de/web_public/gdz/datenquellen/Datenquellen_TopPlusOpen.html

Für die Richtigkeit und Aktualität der Angaben wird keine Gewähr übernommen. Erstellt 07/2022.